

(株)間組技術研究所 正員 中内博司

" " 吉川弘道

" " 左野昭

1.まえがき シールドトンネルに用いられるコンクリート系セグメントは、地山内における応力状態との関係なく曲げモーメント下における単体セグメントの終局曲げ耐力が規定され、強度試験により定期的に確認することが通常とされている。しかし、断面算定においては、材料の線形性と弾性理論に基づいた許容応力度設計法を用いているため、要求される終局曲げ耐力を明確に推定し得ないのが現状と言える。例えば下水道用標準セグメントによれば、終局モーメントは引張鉄筋か許容応力度に達する抵抗モーメントの2.5倍以上となるよう規定されているが、この規定値に対する明快な理論的根拠は見当らず、過去の試験結果の実績に基づいている。そこで歐米での示方書と導入されたある我が国の終局強度設計法に基いて降伏および終局曲げモーメントを算出し、34例の試験結果と対応させることにより、合理的な断面算定法について考察した。また、各々に異なる材料強度、断面諸元、鉄筋量による試験結果を、曲げモーメントの無次元量 m と力学的鉄筋比 W を用いることにより統一的に表現した。

2.試験概要 本文で用いた試験結果は、当社で製作・試験した部材寸法の異なる10種類、合計34のRCセグメントによるもので、その主要断面寸法と材料強度を表-1に記した。試験方法は図-1に示すような2点載荷、自由支撑によるもので、測定項目は載荷点間のコンクリートの伸び率、主要点の変位量とし、2~3サイクルの載荷荷重後、最終荷重を確認した。ひびわれの発生と進展のパターン、終局時の破壊モードなどはせん断スパンを充分にとした通常のRCばかりの単純曲げ試験と同質のものである。

3.曲げ耐力の算定 これまでに発表されているRCばかりに関する終局強度理論やこれに伴う設計手法はそれぞれの特徴があるが、現在では次のようないくつかの仮定条件のもとにほぼ合意されていると言われている。

- ①平面保持の法則が成立する。
- ②引張域コンクリートの抵抗力を無視する。
- ③材料の応力-ひずみ曲線の非線形性を考慮する。
- ④材料が終局ひずみを有し、部材の終局状態の条件となる。

本文では上記の仮定条件に基づき、図-2に示すような材料の応力-ひずみ曲線を採用した。これはヨーロッパでの主要示方書(BSI, DIN, CEB-FIP)と一部導入されている我が国での設計手法(道路橋示方書、プレストレストコンクリート標準示方書)に比較的共通する曲線形である。これらを用い、降伏曲げモーメントと終局曲げモーメントを算出し試験結果と比較し、図-3, 4に示した。(図中

表-1 試験条件と結果				
主要断面寸法				材料強度
部材幅 b	折高 h	横幅高さ s	鉄筋比 ρ_s	コンクリート強度 f_c (MPa) はり強度 f_{ck} (MPa) $(f_{ck} = f_c \times 1.15)$
90 cm	175~25	14~29	6.60~1.50	25~70 34.6~22.0 34.0~6.00

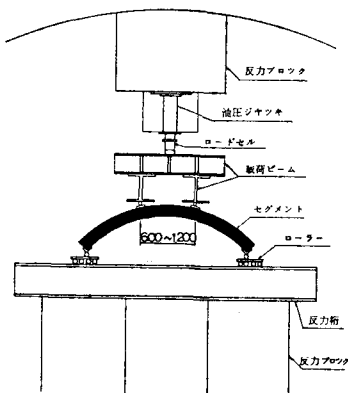
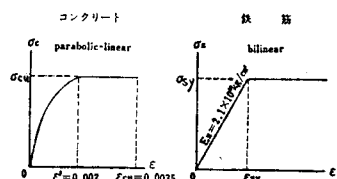


図-1 試験装置概略図(単体曲げ試験)



$$\sigma_c(\epsilon) = \begin{cases} \sigma_{cu} \left\{ 2 \left(\frac{\epsilon}{\epsilon_y} - \left(\frac{\epsilon}{\epsilon_y} \right)^2 \right) & (\epsilon \leq \epsilon_y) \\ \sigma_{cu} (\epsilon > \epsilon_y) \end{cases}$$

$$\sigma_s(\epsilon) = \begin{cases} E_s \cdot \epsilon & (\epsilon \leq \epsilon_{sy}) \\ \sigma_{sy} & (\epsilon > \epsilon_{sy}) \end{cases}$$

図-2 応力-ひずみ曲線

の計算値は、実耐力と比較するため荷重係数と材料安全係数は考慮していない。各試験体の部材諸元と材料特性が異なり、これらを同一図中で比較するために次の無次元量を用い、表示した。

$$\text{曲げモーメント } m = \frac{M}{bd^2 f_{cu}} \quad (\text{諸元は表-1参照})$$

$$\text{力学的鉄筋比 } \omega = \frac{A_s}{bd} \times \frac{f_{sy}}{f_{cu}}$$

図中の計算値は代表的な一断面を用いて算出したものだが、 $m - \omega$ がほぼ線形関係の如く示されている。これらは次の式の展開でも納得できる。部材断面の圧縮合力の作用点から引張鉄筋までの距離を Z 、引張合力を $A_s \times f_{sy} = T$ とすると、軸力を受けない時の曲げモーメント m は、

$$m = \frac{M}{bd^2 f_{cu}} = \frac{T \cdot Z}{bd^2 f_{cu}}$$

$$= \frac{A_s \cdot f_{sy}}{bd \cdot f_{cu}} \times \frac{Z}{d} = \omega \times \frac{Z}{d}$$

$$= K_z \cdot \omega \quad (K_z = Z/d \text{とした。})$$

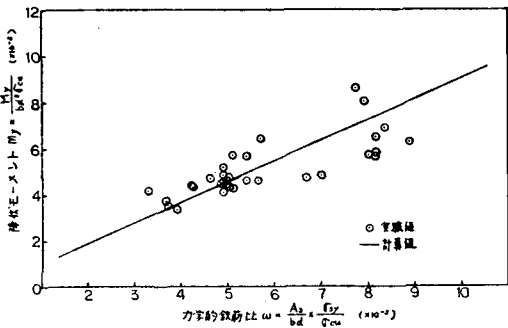


図-3 降伏曲げモーメントと力学的鉄筋比の関係

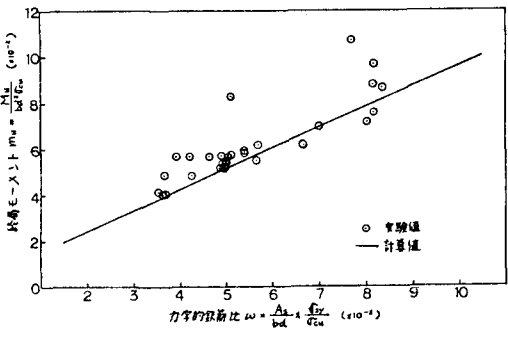


図-4 終局曲げモーメントと力学的鉄筋比の関係

となる。 $K_z = Z/d$ が部材寸法に關係なく一定する、終局耐力を力学的鉄筋比 ω によって線形に表わせることがわかる。図-3, 4から半断すると、降伏モーメント m_y については試験結果をほぼ平均的に表わしているのに対し、終局モーメント m_u では試験結果の下限値を示して、多少へばらつきはあるものの試験結果と計算値は比較的良好な相関性を見ることができる。厳密には m ~ ω の関係が部材寸法や材料特性に影響を受けることや各耐力の実験値が載荷速度などに左右されること、また m_y では明確に降伏荷重が把えられなかったこと、 m_u では計算仮定において鉄筋の降伏以後ひずみ硬化領域を考慮していないことなどがこれらの原因となっていると思われる。

4まとめ 本算定式は、降伏曲げモーメントについては試験値の平均値を、終局曲げモーメントについては試験結果の下限値を包絡しているが、 $m - \omega$ の関係を直線とみなす簡単な式で示される。

$$m_y = 0.89 \omega + 0.1 \quad m_u = 0.89 \omega + 0.6$$

これらの提案式は多少の変動幅を有しているものの、各曲げ耐力を力学的鉄筋比により一義的にかつ簡単に推定し得るものと考えられる。

本文は我が国でも導入準備が進められている終局強度設計法（または限界状態設計法）で用いられてくる設計手法に着目し、曲げモーメント下におけるRCセグメントの曲げ耐力を算定し、実測値と対応させながらその適用例を示したもので、関係各位の御参考になれば幸いと思います。

○参考文献

- 1) 土木学会、日本下水道協会；シールド工事用標準セグメント 1973年
- 2) 土木学会；鉄筋コンクリート設計法の最近の動向、(コンクリートライフレー41号) 昭和50年11月
- 3) 間組研究年報、1979年 コンクリート構造物の終局強度設計法